

تحديد نذر بعض العناصر المعدنية الثقيلة في
الرواسب البحرية على الساحل السوري المقابل لمدينة بانياس
باستخدام تقانة البلازما المقرونة حثياً ICP-AES (II)

الدكتورة هاجر ناصر*
الدكتور خليل صهيوني**
الدكتور محمد الشحنة***

□ الملخص □

تم تحديد نذر بعض العناصر المعدنية الثقيلة مثل $Pb, Sn, As, Cu, Zn, Ni, Co, Cr$ في عينات رواسب بحرية تم إغتيانها على طول الساحل السوري من شاطئ مدينة بانياس حيث مناطق تواجد المنشآت الصناعية مثل محطة توليد الطاقة الحرارية ومصفاة تكرير النفط وشركة نقل النفط ومن مصبات الصرف الصحي وأماكن أخرى غير ملوثة من شاطئ مدينة اللاذقية وذلك باستخدام تقانة الإصدار الطيفي بالبلازما المقرونة حثياً ICP-AES، وباستخدام نظام التحليل الإحصائي ستاتكرافيكس (Statgraphics) خاص بالكمبيوتر الشخصي PC. تشير النتائج الحاصلة إلى أن أكثر المصادر التي تساهم في طرح هذه الملوثات هي المنشآت الصناعية النفطية ومحطات توليد الطاقة ومصبات الصرف الصحي، ولكن بشكل عام ضمن المجال المسموح به دولياً.

* مدرسة في قسم الكيمياء - كلية العلوم - جامعة تشرين - اللاذقية - سورية.
** مدرس في قسم الكيمياء - كلية العلوم - جامعة تشرين - اللاذقية - سورية.
*** مدرس في قسم الكيمياء - كلية العلوم - جامعة تشرين - اللاذقية - سورية.

Determination of the Trace some Heavy Metals in Marine Sediments from the Syrian Coast by Using Icp-aes Technology

Dr. Hajar NASER^{*}

Dr. Khalil SAHYOUNI^{**}

Dr. Mohamed SHAHNEH^{***}

□ ABSTRACT □

Analysis was made regarding the effect of heavy metals Pb,Sn,As,Cu,Zn,Ni,Co,Cr in samples of marine sediments taken from the coast of Baniyas where industrial plants are located like thermo-power generation plants, oil refinery and oil transport company, and from the sanitary sewerage discharges and other positions unplugged in Lattakia City using Atomic Emission Spectroscopy by Inductively Coupled Plasma ICP-AES Technology and using the statistical analysis of Statgraphics program for PC. The results suggest that the main source of pollution are the oil industrial plants power, generation station and sanitary wastes.

^{*} Lecturer at the Department of Chemistry, Faculty of Science, Tishreen University, Lattakia, Syria.

^{**} Lecturer at the Department of Chemistry, Faculty of Science, Tishreen University, Lattakia, Syria.

^{***} Lecturer at the Department of Chemistry, Faculty of Science, Tishreen University, Lattakia, Syria.

1- مقدمة:

إن التلوث هو كل تغير كمي أو كيميائي في مكونات الكرة الأرضية يدخل بتوازنها الطبيعي أو بشكل آخر هو تواجد العناصر والمركبات الكيميائية بكميات كافية مشكلة بذلك خطراً على الصحة والحياة لفترة قصيرة أو طويلة ويقصد بتلوث البيئة تلوث الهواء والماء والتربة.

هناك مصادر عديدة لتلوث البيئة نذكر منها الملوثات الصناعية - وسائل النقل (برية-جوية-بحرية) القمامة ومصادر الصرف الصحي [1]... الخ.

وباعتبار البحار هي المخزون الرئيسي لهذه الملوثات لذلك اهتم هذا العمل بدراسة تلوث الرواسب البحرية بالمعادن الثقيلة السامة لأنها من الملوثات الكيميائية الأكثر خطورة وذلك لإمكانات استقلالها وتراكمها في أعضاء الأحياء المائية.

فبحسب التقارير الصادرة عن المنظمات الدولية F.A.O حول تلوث البحار وتأثير ذلك على المصادر الحيوية في الصيد والثروة السمكية (تعد العناصر التالية: الزرنيخ - الرصاص - التوتياء - الكروم... ملوثات للمياه والرواسب البحرية) من الملوثات الهامة للمياه والرواسب البحرية والتي لا يمكن تجاهلها فبحسب رأي الخبراء إن تلك المواد تشكل خطراً كبيراً على الصحة العامة لتراكمها المستمر غير المنقطع ولتواجدها بكميات كبيرة في الوسط البحري. حيث يؤدي عدد منها إلى حدوث أمراض عرفت بأسماء خاصة تبعاً للأعراض أو المكان الذي وجدت فيه أو اسم مكتشفها. فمرض Hoff's مثلاً ناتج عن التسمم بالزرنيخ ومرض زحل يعني التسمم بالرصاص وسنوضح في الجدول رقم (1) أهم الأعراض التي تسببها هذه العناصر ونسبها العادية والنسب المسموح بتواجدها.

جدول رقم (1) النسب العادية لهذه المعادن والنسب المسموح بتواجدها في التربة والطين وتأثير ذلك على صحة الإنسان والكائنات الحية الأخرى [2]

| المعدن | التركيز $\mu\text{g}/\text{gr}$ نسبة عادية | التركيز $\mu\text{g}/\text{gr}$ نسبة مسموح بها في التربة الجافة | النسبة المسموح بها في الطمي mg/kg | تأثيرها على الإنسان والكائنات الأخرى |
|--------|---|---|---|--|
| Pb | 20-0.1 | 100 | 100 | فقر دم - شلل مفاصل - تعطل مخي (هذيان) ثم الموت |
| Sn | 20-1 | 50 | 500 | أمراض كبد والجملة العصبية المركزية |
| As | 20-0.1 | 20 | 200 | سرطان الجلد والرئة له خواص ماسخة (نسل غر سوي - مسمم خلوي) |
| Cu | 20-1 | 100 | 1000 | أمراض كبد وجملة عصبية مركزية سام جداً للسمك وحشائش الماء والفطور |
| Zn | 50-3 | 300 | 3000 | حمى وآلام عضلية - دوخة - سام للسمك وأنواع الحشائش |
| Ni | 50-2 | 50 | 500 | التهاب الأئمة - سرطان جيوب ورفة |
| Co | 10-1 | 50 | 500 | أخطار حمية وسام جداً بالنسبة للسمك |
| Cr | 50-2 | 100 | 1000 | تأثيره على الكبد والكلوي - يعيق نمو الأعشاب - مركبات الكروم السداسية تعتبر |

يتم تلوث البيئة المائية البحرية بهذه المعادن من مصادر مختلفة سواء عن طريق مخلفات المنشآت الصناعية أم شبكات الصرف الصحي أو البواخر الوافدة والمغادرة من الموانئ المتواجدة على طول الشواطئ الساحلية. وتحدد المعادن الثقيلة سواء المنحل منها أم المترسب على شكل كربونات وكبريتات وسولفيدات أو القسم الآخر المنمص على سطح الرواسب العضوية والمعدنية بشكل نسبي [1] ولهذا السبب يجب أن تتم مراقبة تزايد كمية هذه المعادن الثقيلة في الرواسب التي تشكل المخزون النهائي لهذه الملوثات.

ما تجدر الإشارة إليه هو أن مثل هذه الدراسة أجريت في بلدان عديدة تقع على حوض البحر الأبيض المتوسط مثل مصر [3،4] وتركيا [5] واليونان [6]. كما أجريت على أحواض أخرى مثل البحر الأسود. مثل بلغاريا [7] وتركيا [8] وعلى البلطيق في ألمانيا [9،10].

تتسم عملية تجديد تراكيز هذه الملوثات بالسهولة في حال وجودها بكميات كبيرة لكنه في معظم الأحيان تتواجد بكميات صغيرة من مرتبة $\mu\text{g/g}$ لذلك لا بد من تطبيق طرائق أكثر دقة تحدد لنا نذر هذه العناصر بأقل خطأ ممكن.

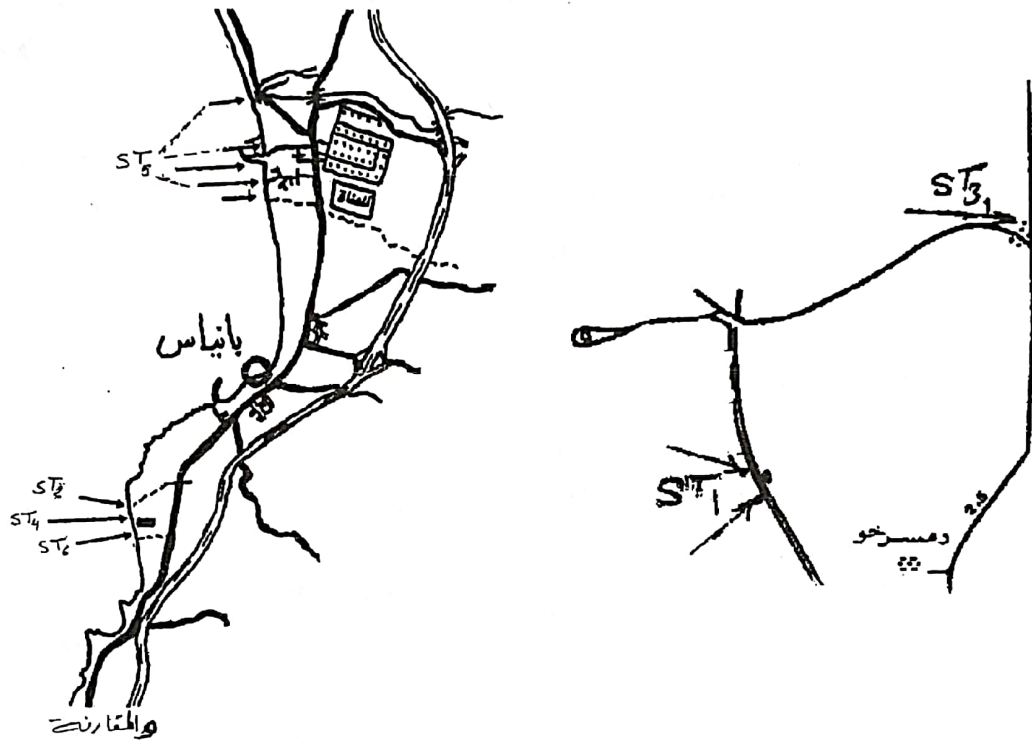
ومن أهم هذه الطرائق المتبعة تلك التي تعتمد على مطيافية الامتصاص والإصدار الذري [11،12]. وقد تستخدم مطيافية الإصدار الذري بالبلازما المقرونة حثياً ICP لتحديد آثار نذر المعادن الثقيلة حيث تعتبر هذه الطريقة من الطرائق الشائعة من أجل التحاليل العنصرية كفيماً وكمياً لما لها من نتائج جيدة لاسيما في تحليل العينات الترابية والرسوبية وذلك من أجل استقصاء تراكيز الملوثات المعدنية فيها.

الجزء التجريبي (العملي):

الاعتيان:

تتوزع مناطق الاعتيان على طول الساحل السوري المقابل لمدينة بانياس ضمن النطاقين الشاطئي والبحري الضحل حيث اختيرت محطات تشمل المراكز الصناعية مثل محطة توليد الطاقة وشركة النفط كما أخذت محطات أخرى للمقارنة من مدينة اللاذقية بعضها قريب من مصادر التلوث يقع بجوار الصرف الصحي (أفاميا) وبعضها الآخر بعيد عن مصادر التلوث (ميناء البيضاء).

جمعت العينات والبالغ عددها 30/ عينة من محطات الدراسة الست السابقة الذكر حيث توزعت في خمس نقاط مختلفة في أبعادها وأعماقها لكل محطة تراوحت بين متر وأربعين متراً عمقاً ثم أخذت متوسطات القيم لكل محطة على حدة. ويوضح الشكل والجدول التاليان مناطق الاعتيان.



الشكل (1) و(2) يظهران مناطق الاعتيان والمقارنة.

جدول (2) يبين المناطق المدروسة ورموزها المستخدمة في الدراسة.

| منطقة الاعتيان | رمز المنطقة | النطاق البيئي |
|--------------------------|-----------------|---------------|
| اللانقية (أفاميا-مجارير) | ST ₁ | شاطئية |
| بانياس (المحطة الحرارية) | ST ₂ | شاطئية |
| اللانقية (ميناء البيضا) | ST ₃ | شاطئية |
| بانياس (المحطة الحرارية) | ST ₄ | شاطئية ضحلة |
| بانياس (شركة النفط) | ST ₅ | بحرية ضحلة |
| بانياس (المحطة الحرارية) | ST ₆ | بحرية ضحلة |

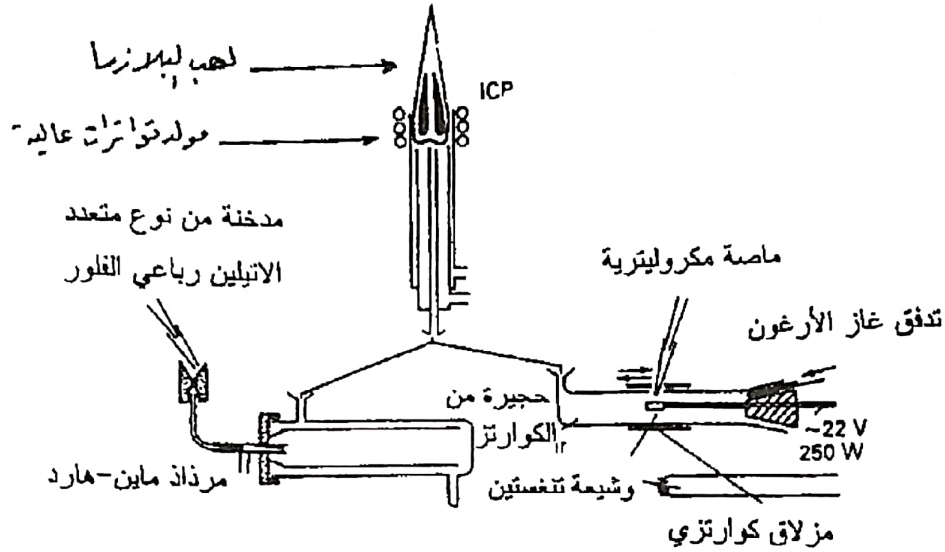
جمع وتحضير العينات:

تم جمع عينات الرواسب البحرية من المناطق المعتمدة للدراسة بطريقة يدوية بوساطة مقاشط بلاستيكية بأبعاد وأعماق مختلفة ثم وضعت العينات في عبوات بلاستيكية (متعددة الايتيلين) Polyethlyen بعد غسلها بحمض الأزوت ثم بالماء المقطر [13]. أما تحضير العينات فكان على الشكل التالي: يؤخذ 1gr من العينة المطحونة والمارة من خلال Mesh 100 مش، وتخلط مع 3gr من فوق أكسيد الصوديوم Na₂O₂ في بوتقة من الزركونيوم. توضع العينة بعد خلطها في البوتقة ثم توضع في فرن درجة حرارته 450°C لمدة 45

min. ثم بعد ذلك توضع المادة المنصهرة في كأس ثم يضاف 72 ml من الماء المؤنن ثم تحرك حتى تمام لذوبان. يوضع 28 ml من 1:1 حمض كلور الماء حتى يكون المحلول صافياً للتحليل على جهاز البلازما (ICP-AES) وهو جهاز طيفوف الإصدار الضوئي بالبلازما حثياً (14-15).

الجهاز المستخدم والشروط الآلية:

إن الجهاز المستخدم هو عبارة عن مطيافية الإصدار بالبلازما المقرونة حثياً (ICP-AES) والجهاز من نوع (ICP ARL 3410 Minintorch O.I.S) والشكل (3) يوضح مقطعاً عرضياً لهذا الجهاز (*).



شكل (3) مقطع عرضي لجهاز (ICP-AES) يساراً (ICP-ETV-AES) يميناً
(* تمت القياسات في القطر الأردني على هذا الجهاز لعدم توفره في القطر).

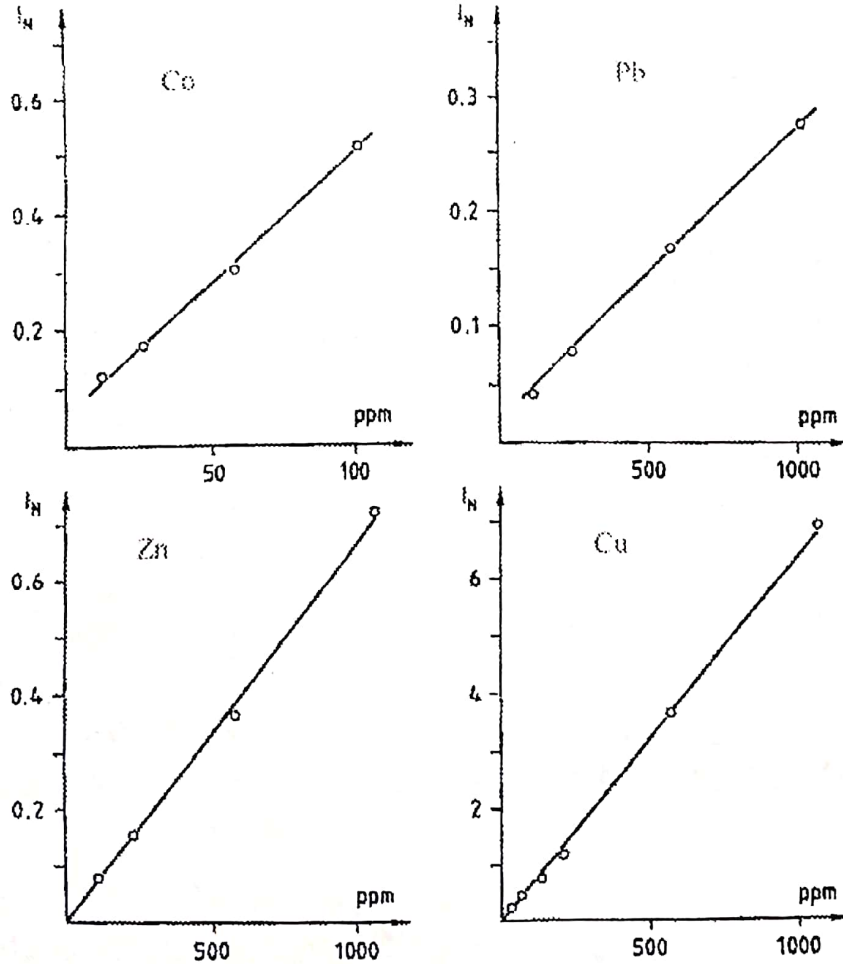
يستخدم غاز الأرجون كغاز للبلازما شدة تيار هذا الغاز 0.3-10 L/min ومولد كوارتزي عالي التواتر 27 MHz وباستطاعة قدرها 2Kw وتصل درجة الحرارة في النفق من (6000-8000°K) وعرض الشق الطيفي (0.2-2 nm) واستطاعة الفك العادية من (0.02-0.03 Kw) ومرداذ قياس من نوع (A) موصول مع مضخة (T-200) شدة امتصاصها 0.8 ml/min [15].
إن زمن تكامل الإشارة /10 ثوان للعناصر المعدنية الثقيلة والجدول (3) يبين الخطوط الطيفية والعناصر.

جدول (3) يبين أهم شروط القياس المستخدمة

| Sn(I) | As(I) | Co(I) | Cr(II) | Ni(I) | Cu(I) | Pb(I) | Zn(I) | العنصر |
|-------|--------|--------|--------|--------|--------|--------|-------|-------------------------------|
| 198.3 | 197.20 | 350.23 | 267.72 | 341.47 | 324.75 | 283.31 | 213.9 | طول الموجة λ (nm) |
| 0.05 | 0.05 | 0.2 | 0.007 | 0.07 | 0.009 | 6.5 | 0.5 | حد الكشف أو القياس |
| 10 | 10 | 10 | 10 | 10 | 10 | 10 | 10 | زمن تكامل الإشارة (Sec) |

(I) الخط الطيفي الذري، (II) الخط الطيفي الشاردي.

تسمح العلاقة ما بين شدة الإصدار والتركيز المقصود بتحديد هذه العناصر كما هو موضح ببعض المنحنيات البيانية المرفقة.



شكل (4) المنحنيات البيانية الموضحة تبين المجال الخطي لبعض العناصر المدروسة.

نتائج العمل التجريبي:

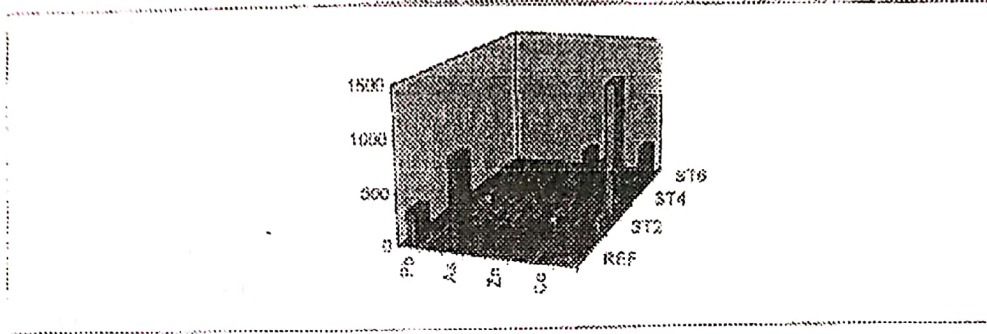
تقد تم قياس تراكيز المعادن الثقيلة (النذرة) (رصاص-قصدير-زرنبيخ-نحاس-توتياء-نيكل-كوبالت-كروم) باستخدام جهاز الإصدار النري بالبلازما المقرونة حثيا وتطبيق الشروط المذكورة سابقاً كانت متوسطات تراكيز هذه العناصر كما هي موضحة في الجدول التالي:

جدول (4) يبين تركيز العناصر المعدنية النذرة في المحطات المدروسة مقدرة $\mu\text{g}/\text{gr}$ من الوزن الجاف

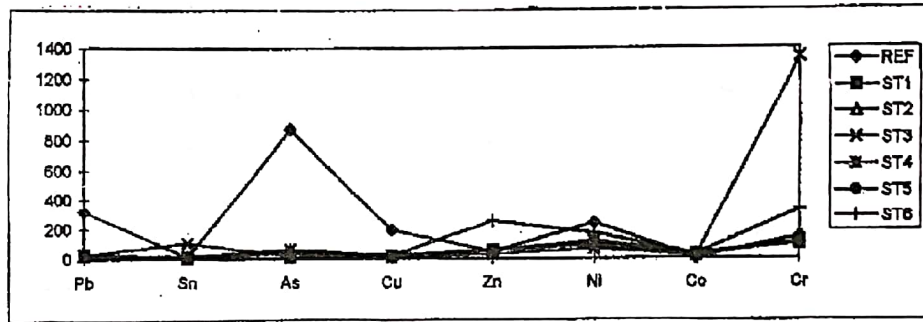
| العنصر | ST ₁ | ST ₂ | ST ₃ | ST ₄ | ST ₅ | ST ₆ |
|--------|-----------------|-----------------|-----------------|-----------------|-----------------|-----------------|
| Pb | 31.346 | 24.563 | 31.110 | 28.931 | 25.364 | 36.792 |
| Sn | 17.446 | 8.017 | 105.63 | 18.431 | 17.003 | 5.171 |
| As | 5.283 | 43.314 | 19.403 | 62.161 | 49.926 | 51.651 |
| Cu | 13.405 | 20.758 | 8.557 | 20.221 | 26.698 | 24.144 |
| Zn | 56.618 | 53.383 | 28.406 | 57.656 | 60.480 | 252.36 |
| Ni | 88.141 | 111.88 | 62.903 | 118.26 | 86.178 | 169.27 |
| Co | 16.125 | 31.046 | 19.257 | 34.960 | 29.430 | 28.678 |
| Cr | 110.93 | 99.326 | 1337.7 | 109.75 | 101.02 | 325.92 |

جدول (5) يبين قيم الانحراف النسبي والمعياري للعناصر المعدنية النذرة في المحطات

| العنصر | ST ₁ | ST ₂ | ST ₃ | ST ₄ | ST ₅ | ST ₆ |
|--------|-----------------|-----------------|-----------------|-----------------|-----------------|-----------------|
| Pb | SD | 1.731 | 0.754 | 2.663 | 3.002 | 1.954 |
| | RSD | 5.523 | 3.071 | 8.559 | 11.835 | 5.311 |
| Sn | SD | 1.929 | 4.5117 | 3.920 | 0.099 | 19.866 |
| | RSD | 11.05 | 18.827 | 3.711 | 11.757 | 384.18 |
| As | SD | 7.057 | 8.757 | 12.814 | 16.140 | 12.191 |
| | RSD | 133.591 | 20.217 | 66.04 | 32.327 | 23.602 |
| Cu | SD | 0.413 | 1.421 | 0.358 | 0.610 | 0.083 |
| | RSD | 3.182 | 6.872 | 4.178 | 2.284 | 0.342 |
| Zn | SD | 0.388 | 0.130 | 0.156 | 0.328 | 2.238 |
| | RSD | 0.684 | 6.244 | 0.549 | 0.537 | 0.887 |
| Ni | SD | 1.454 | 2.577 | 2.506 | 1.134 | 2.173 |
| | RSD | 1.643 | 2.303 | 3.983 | 1.316 | 1.284 |
| Co | SD | 0.399 | 1.051 | 0.602 | 1.934 | 2.127 |
| | RSD | 2.475 | 3.386 | 3.128 | 6.571 | 7.418 |
| Cr | SD | 0.534 | 0.880 | 13.446 | 1.339 | 1.266 |
| | RSD | 0.481 | 0.886 | 1.005 | 1.326 | 0.388 |



شكل (5) يبين التمثيل البياني لتراكيز العناصر المدروسة مقدرة $\mu\text{g/gr}$ من الوزن الجاف.



شكل (6) يبين التمثيل البياني لتراكيز العناصر المدروسة مقدرة $\mu\text{g/gr}$ من الوزن الجاف.

قيمت هذه النتائج إحصائياً بحساب معاملات الارتباط بين تراكيز هذه العناصر في كل محطة مع الأخرى وبين كل عنصر مع بقية العناصر المدروسة كما هو مبين في مصفوفات الارتباط.

Correlation matrix for coefficient estimates

| المحطة | ST ₁ | ST ₂ | ST ₃ | ST ₄ | ST ₅ | ST ₆ |
|-----------------|-----------------|-----------------|-----------------|-----------------|-----------------|-----------------|
| ST ₁ | 1.000 | | | | | |
| ST ₂ | -0.579 | 1.000 | | | | |
| ST ₃ | -0.513 | 0.408 | 1.000 | | | |
| ST ₄ | 0.298 | -0.827 | -0.205 | 1.000 | | |
| ST ₅ | 0.008 | 0.313 | -0.030 | -0.755 | 1.000 | |
| ST ₆ | -0.368 | 0.165 | -0.105 | 0.469 | -0.667 | 1.000 |

شكل (7) مصفوفة ترابط قيمة المعاملات لمجموعة المعادن النذرة.

| المحطة | Pb | Sn | As | Cu | Zn | Ni | Co | Cr |
|--------|---------|---------|---------|---------|---------|---------|---------|-------|
| Pb | 1.000 | | | | | | | |
| Sn | 0.102 | 1.000 | | | | | | |
| As | - 0.156 | - 0.454 | 1.000 | | | | | |
| Cu | - 0.201 | - 0.773 | 0.784 | 1.000 | | | | |
| Zn | 0.725 | - 0.427 | 0.349 | 0.473 | 1.000 | | | |
| Ni | - 0.490 | - 0.659 | 0.586 | 0.600 | 0.886 | 1.000 | | |
| Co | - 0.332 | - 0.508 | 0.969 | 0.650 | 0.205 | 0.828 | 1.000 | |
| Cr | 0.305 | 0.955 | - 0.392 | - 0.702 | - 0.159 | - 0.433 | - 0.480 | 1.000 |

شكل (8) يظهر ترابط قيم المعاملات لمجموعة المعادن النذرة المدروسة.

المناقشة:

تهدف هذه الدراسة إلى تحديد التلوث ببعض العناصر المعدنية النذرة $Pb, Sn, As, Cu, Zn, Ni, Co, Cr$ في عينات رسوبية بحرية أخذت من النطاقين الشاطئي والبحري الضحل المقابل لمدينة بانياس ومن بعض نقاط أخرى للمقارنة في مدينة اللانقية.

ارتبطت الدراسة بأخذ عينات من عدة نقاط في كل محطة مختارة وأجريت عليها عمليات معالجة تحضيرية من أجل قياسها بطريقة الإصدار النري بالبلازما المقرونة حثياً (ICP-AES) حيث وجدنا أنه يمكن تحديد نثر هذه العناصر بالاعتماد على هذه الطريقة إذ إن حدود الكشف تسمح باحتواء إشارة الإصدار النري الناتجة لهذه العناصر.

يبين الجدول (4) (التراكيز) أن محتوى الرصاص في العينات الرسوبية البحرية المأخوذة من شاطئ بانياس ثابت تقريباً حيث يتراوح بين $24.563-36.792 \mu g/gr$ بما فيها مناطق المقارنة (ميناء البيضاء - أفاميا) وهذه القيم تعتبر ضمن المجال المسموح به حسب إحصائيات (Turekain, Wedepohi) من أجل النمط نفسه من الرواسب /3/ بينما تبلغ كميات الرصاص في رسوبيات تنطبق عليها الظروف نفسها في نقاط أخرى من شواطئ البحر الأبيض المتوسط حوالي ($93.3 \mu g/gr$) تقريباً كما في مصر واليونان وهي تقع على الحد الفاصل المسموح به دولياً.

أما بالنسبة إلى عناصر كل من النحاس والنيكل والكوبالت والتوتياء فيظهر اختلاف في تراكيزها بين مناطق الدراسة والمقارنة ولكنها تقع بشكل عام ضمن المجال المسموح به كما جاءت في الإحصائيات السابقة ولو أن تراكيزها كانت أعلى في المناطق القريبة من مصادر التلوث حيث سجل التوتياء قيمة كبيرة وصلت إلى ($252.36 \mu g/gr$) وهي قيمة عالية حتى إذا ما قورنت بنقاط مشابهة من البحر الأبيض المتوسط مصر مثلاً (حوالي $107.9 \mu g/gr$) ولقد سجل كل من عنصرني القصدير والكروم قيمة مرتفعة التراكيز في معظم النقاط وهذا ضمن الحدود المسموح بها ما عدا منطقة الميناء البيضاء حيث بلغ تركيزه حوالي ($105.6 \mu g/gr$) على عكس المناطق القريبة من مصادر التلوث.

أما عنصر الكروم فقد سجل قيمة مرتفعة جدا في الميناء البيضاء حوالي $1337.750 \mu g/gr$ وتليه منطقة أفاميا مجارير ويرجع ذلك إلى أسباب أخرى لاسيما إن المنطقة لها مواصفات خاصة. على عكس ذلك

سجل عنصر الزرنيخ قيم تراكيز عالية في محطات الدراسة في بانياس حيث تراوحت بين (43-62 µg/gr) وهي قيم خطيرة ولها تأثيرات على البيئة المائية والبشرية.

من ناحية أخرى نستطيع القول إن حدوث التفاوت في قيم العناصر المدروسة من محطة لأخرى سيما بين محطات بانياس واللاذقية يظهر بشكل عام ارتفاع تراكيز هذه العناصر في المناطق القريبة من المنشآت الصناعية والتي تزداد بازدياد العمق والبعد عن الشاطئ باستثناء عنصري الكروم والقصدير اللذين سجلا تراكيز مرتفعة في محطة المينا البيضاء، وهذا بدروه يعطي مؤشرات أخرى للتلوث أي أن مصادر التلوث من منشآت صناعية ومحطات معالجة ومجارير صرف صحي وغيرها تساهم في ردف البحار بالتلوث وتساهم إلى حد كبير في إغناء البيئة البحرية والرواسب بالملوثات المعدنية التي تشكل مخزونها النهائي. وهذا يؤكد التحليل الإحصائي الذي استخدمناه لمعالجة النتائج والقيم التي حصلنا عليها سواء عن طريق تحليل المجموعات وعوامل الارتباط بها.

فقد درسنا علاقة الارتباط بين هذه المحطات بعناصرها رغم اختلاف صفاتها ومواقعها فوجدنا أن المحطة الثالثة ST₃ وهي المينا البيضاء لم تبد أي ارتباط مع باقي المحطات وهذا فعلاً ملحوظ في تركيز هذه العناصر، بينما المحطة الأولى ST₁ وهي منطقة المقارنة الأولى (أفاميا مجارير) نلاحظ أنها تبدي ارتباطاً أكثر من سابقتها وهذا مؤشر أن هناك تشابه في مصادر التلوث.

أما ST₄ فهي تبدي ارتباطاً جيداً من محطات ST₆ و ST₂ وهذه هي المناطق القريبة من مراكز المنشآت الصناعية المدروسة مما يدل على أن مؤشر تزايد تراكيز هذه العناصر التي ترفد البحار بالتلوث له مصدر مشترك سببه هذه المنشآت.

أما عن علاقة العناصر ببعضها بعضاً فتوضحه مصفوفة الارتباط العنصري (شكل 8) التي تظهر بأنه لا توجد علاقة ارتباط إيجابية عالية بين عناصر الجدول باستثناء عنصري القصدير والزرنيخ اللذين يظهران علاقة ارتباط إيجابية بعض الشيء مع باقي العناصر حيث أن معامل الارتباط يتراوح ما بين 0.24 ≤ R ≤ 1.00 أما النحاس فيبدي ارتباطاً إيجابياً عالياً مع كل من النيكل والكوبالت والكروم فقط، أما التوتياء فإن ارتباطه عال مع النيكل.

مما سبق يتضح عدم وجود ارتباط عالي الإيجابية بين العناصر المعدنية المدروسة ككل، أي أن لمصادر التلوث أثراً في وجودها والاختلاف في تراكيزها. أي إن هذه الملوثات ليست ناتجة عن التوزيع السيئ للمعادن في العينات الرسوبية المدروسة وإنما لمصادر التلوث أثر في وجودها واختلاف تراكيزها وهذا ما يؤكد علاقة الارتباط بينها والتي تعطي مؤشراً في معرفة مصدر هذه المعادن في الرسوبيات هل هي عناصر معدنية جيوكيميائية، أو ناتجة عن النشاط البشري والصناعي.

REFERENCES

المراجع

1. Chemie der Umwelt belastung, G. Fellenberg, Technische Universität Braunschweig, 1990.
2. Wasser ingaltsstoffe Bedeutung und Erfassung D. Lienig, Berlin 1983.
3. Evaluation of some trace metals in sediments from the Continental Shelf of Egypt. B. Mahmoud, Dept. of Oceanography Faculty of Science Univ. of Alexandria 1992.
4. Heavy metals pollution in the Damietta Estuary of the Nile, Massoud A. H. Saad, Alexandris (Egypt).
5. Alomparative study on ertot comentration of water, sediment of Zmir Bay, M. Turko-Glu, H. Parlak and B. Bugurisik.
6. Socullos M. and Daserabis M. 1982, trace metals in water and sediment of the Evoikos Gulf Greece. Vies cies in coi. P:411-414.
7. Heavy metals in sea water and surface sediment of the Gulf of Burgas, st. Stamov and Oreshkov, Technological University of burgas (Bulgaris).
8. Heavy metals and other elements in Zosteral on the travzon coast line, Sezginer Tuncer and Ozdemiu Yaramaz (Bleack Sea, Turkey).
9. U. Forster, German Muller and Peter Stoffers, Institut fur Sediments forschung der Uni. In neueheimer Feld 236, D-69 Heidelberg, Federal BRD.
10. L. Brugman, Academy of Sciences of the BRD Institut of Marine Rostok Warenmunde.
11. Atomic Absorption Spectroscopy, Bernhard welz 1983.
12. Kombination der laserverdampfung der I.C.P (Laser ICP-AES), K. Dittrich, K. Neibegall und R. Wennrich sektion chemie dere Karl Marx Uni. Leipzig (1987).
13. Farey, J, B. Nelson, A. L, Atomic Absor. Spectro. pp(67-94) Elesevier Scientific Publishing Company, Amst. Netherland (1982).
14. Feinberg So. Filipova AN (1983) Analysis Rud Swetnich Metalow, Metallurgisdat. Moskwa.
15. Niklaus Klantsch, arnald Esenwein und Thomas Muller Fersenius Z. and Chem. (1987) 328: 627-661.